

สำนักหอสมุด มหาวิทยาลัยบูรพา  
อ.เมือง ชลบุรี 20131



## รายงานการวิจัย

การเปลี่ยนแปลงรูปแบบของสารprotoในดินตะกอนและน้ำ

บริเวณนิคมอุตสาหกรรมมาบตาพุด

(ปีที่ 1)

แวงตา	ทองระดา
ฉลวย	มุสิกะ
วันชัย	วงศ์ดาวรรณ
อาวุช	หนั่นหาผล

๑๙๐๖๔๙

๒๙ ม.ค. ๒๕๔๘

**190649**

ได้รับทุนอุดหนุนการวิจัยจากนปdc ประจำปีงบประมาณ ๒๕๔๖

สถาบันวิทยาศาสตร์ทางทะเล มหาวิทยาลัยบูรพา

พ.ศ. ๒๕๔๗

# การเปลี่ยนแปลงรูปแบบของสารprotoในคินตะกอนและน้ำ บริเวณนิคมอุดสาหกรรมมหาดูชุด

โดย

แวงตา	ทองระอา
ฉลวย	มุสิกะ
วันชัย	วงศ์ศุภารรณ
อาชุช	หมั่นหาผล

## บทคัดย่อ

การศึกษาการเปลี่ยนแปลงรูปแบบของสารprotoในคินตะกอนและน้ำบริเวณนิคมอุดสาหกรรมมหาดูชุดในปีแรกมีวัตถุประสงค์เพื่อศึกษาการแพร่กระจายของสารprotoในน้ำทะเลบริเวณนิคมอุดสาหกรรมมหาดูชุด ศึกษาการแพร่กระจายของสารprotoในคินตะกอน และความสัมพันธ์ระหว่างปริมาณprotoรวมและคุณสมบัติทางฟิสิกส์และเคมีของคินตะกอน รวมทั้งศึกษารูปแบบทางเคมีของสารprotoในคินตะกอน และปริมาณprotoที่อยู่ในรูปแบบที่เข้าสู่สิ่งมีชีวิตได้ (bioavailable form)

ผลการศึกษาปริมาณprotoรวมในน้ำทะเล พบว่ามีค่าน้อยมากทั้งในคุณลักษณะและคุณภาพ และค่าก่อการตารุกรากคุณภาพน้ำชายฝั่งทะเลของไทยหลายเท่า กล่าวคือ ค่าเฉลี่ยที่พบในคุณลักษณะและคุณภาพอยู่ระหว่าง  $< 2 - 5.50$  และ  $< 2 - 11.70$  แหนนโอนกรัมต่อลิตร ตามลำดับ สำหรับปริมาณprotoรวมในคินตะกอนในคุณลักษณะ พบว่ามีค่าอยู่ในช่วงระหว่าง 0.006-0.130 ไมโครกรัมต่อกกรัม น้ำหนักแห้ง และคุณภาพมีค่าอยู่ในช่วงระหว่าง  $< 0.0023 - 0.224$  ไมโครกรัมต่อกกรัม น้ำหนักแห้ง ทั้งนี้ปริมาณprotoรวมในคินตะกอนที่ตรวจพบดังกล่าวมีค่าสูงกว่ามาตรฐานของสารprotoในคินตะกอนของบางประเทศ ปริมาณprotoรวมในคินตะกอนที่พบมีความสัมพันธ์ทางบวกกับค่าข้างสูงมากกับออกไซด์ของเหล็ก คินเหนียวสารอินทรีย์ และออกไซด์ของแมงกานีส โดยออกไซด์ของเหล็กเป็นองค์ประกอบในคินตะกอนที่มีบทบาทสำคัญมากในการคุ้มครองสารprotoมากกว่าองค์ประกอบอื่น และจากการศึกษาปริมาณprotoที่อยู่ในรูปแบบที่เข้าสู่สิ่งมีชีวิตได้พบว่ามีค่าน้อยไม่เกิน 22 % ของปริมาณprotoรวม โดยสอดคล้องกับผลการศึกษารูปแบบทางเคมีของสารprotoในคินตะกอน ซึ่งพบว่าสารprotoมีอยู่ 2 รูปแบบที่สำคัญ คือรูปที่จับรวมด้วยสารอินทรีย์และซัลไฟด์ และรูปแบบที่อยู่ในโครงสร้างของแร่ธาตุในคิน ซึ่งเป็นรูปแบบที่ไม่เป็นอันตรายต่อสิ่งมีชีวิต

## กิตติกรรมประกาศ

โครงการวิจัยเรื่องนี้เป็นโครงการวิจัยต่อเนื่องระยะเวลา 2 ปี เริ่มตั้งแต่ปี 2546-2547 สำหรับรายงานฉบับนี้เป็นการเสนอผลการวิจัยในปีที่ 1 ซึ่งได้รับทุนสนับสนุนการวิจัยจากงบประมาณแผ่นดินหมวดเงินอุดหนุน มหาวิทยาลัยบูรพา ประจำปีงบประมาณ 2546 คณะผู้ทำการวิจัยได้ขอขอบคุณเป็นอย่างมากไว้ ณ โอกาสนี้ ขอขอบคุณเจ้าหน้าที่สถาบันวิทยาศาสตร์ทางทะเลทุกท่านที่มีส่วนทำให้ งานวิจัยเรื่องนี้สำเร็จลุล่วงไปด้วยดี

## สารบัญ

หน้า

สารบัญ	(1)
สารบัญตาราง	(2)
สารบัญภาพ	(4)
บทนำ	1
อุปกรณ์และวิธีการ	3
ผลและวิจารณ์ผล	10
เอกสารอ้างอิง	27

## สารบัญตาราง

ตารางที่	หน้า
1 คำแนะนำสถานีเก็บตัวอย่างน้ำทะเลและดินตะกอนบริเวณนิคมอุตสาหกรรม	4
หมายเหตุและบริเวณใกล้เคียง จังหวัดระยอง	
2 % Recovery ของการวิเคราะห์ปริมาณprotoxin ในน้ำทะเล	7
3 ผลการวิเคราะห์คินตะกอนทะเลเลมาตรฐาน (MESS-3)	7
4 การสกัดหารูปแบบทางเคมีของสารprotoxin ในคินตะกอน โดยวิธี sequential extraction	8
5 Sequential extraction ของคินตะกอนทะเลเลมาตรฐานที่ทราบความเข้มข้น (MESS-3)	9
6 คุณสมบัติทางฟลิกส์และเคมีของคินตะกอนที่ทำการวิเคราะห์และวิธีวิเคราะห์	10
7 คุณภาพน้ำทะเลบริเวณชายฝั่งทะเล นิคมอุตสาหกรรมนาบตาพุด จังหวัดระยอง ในฤดูน้ำแล้ง (31 มีนาคม 2546)	11
8 คุณภาพน้ำทะเลบริเวณชายฝั่งทะเล นิคมอุตสาหกรรมนาบตาพุด จังหวัดระยอง ในฤดูฝน (2 ตุลาคม 2546)	12
9 คุณสมบัติคินตะกอนบริเวณชายฝั่งทะเล นิคมอุตสาหกรรมนาบตาพุด จังหวัดระยอง ในฤดูแล้ง (31 มีนาคม 2546)	14
10 คุณสมบัติคินตะกอนบริเวณชายฝั่งทะเล นิคมอุตสาหกรรมนาบตาพุด จังหวัดระยอง ในฤดูน้ำมาก (2 ตุลาคม 2546)	15
11 ปริมาณproto toxin ในน้ำทะเลบริเวณชายฝั่งทะเล นิคมอุตสาหกรรมนาบตาพุด จังหวัดระยอง ในฤดูแล้ง (31 มีนาคม 2546) และฤดูฝน (2 ตุลาคม 2546) (หน่วยเป็น ng L <sup>-1</sup> )	16
12 คุณภาพน้ำทึ้งจากบริเวณโดยรอบนิคมอุตสาหกรรมนาบตาพุดและบริเวณใกล้เคียง ในฤดูแล้ง (12 พฤษภาคม 2546) และฤดูฝน (30 กันยายน 2546)	17
13 ปริมาณproto toxin ในคินตะกอนบริเวณชายฝั่งทะเล นิคมอุตสาหกรรมนาบตาพุด จังหวัดระยอง ใน ฤดูแล้ง (31 มีนาคม 2546) และฤดูฝน (2 ตุลาคม 2546) (ค่าเฉลี่ย ± ความคลาดเคลื่อนมาตรฐาน) (n = 6)	19
14 เกณฑ์มาตรฐานของสารproto toxin ในน้ำทะเลและคินตะกอน	20

ตารางที่	หน้า
15 ค่าสัมประสิทธิ์สหสัมพันธ์ระหว่างปริมาณprotoในคืนตะกอนและคุณสมบัติของคืนตะกอนในฤดูแล้ง (31 มีนาคม 2546) ( $n = 48$ ขก.วีน CEC = 24)	23
16 ค่าสัมประสิทธิ์สหสัมพันธ์ระหว่างปริมาณprotoในคืนตะกอนและคุณสมบัติของคืนตะกอนในฤดูน้ำมาก (2 ตุลาคม 2546) ( $n = 48$ ขก.วีน CEC = 24)	24

## สารบัญภาพ

ภาพที่

หน้า

- |   |  |    |
|---|--|----|
| 1 | สถานีเก็บตัวอย่างน้ำทะเลและดินตะกอนบริเวณนิคมอุตสาหกรรมมาบตาพุด และบริเวณไกลสีเคียง จังหวัดระยอง   | 5  |
| 2 | ความสัมพันธ์ระหว่างปริมาณprotoที่เก็บกับสารอินทรีย์ที่ละลายในรูปของ Humic acid ชั่งพบในฤทธิ์ (2 ตุลาคม 2546)   | 18 |
| 3 | ปริมาณprotoรวมในดินตะกอนบริเวณนิคมอุตสาหกรรมมาบตาพุด ในฤทธิ์เดิม (31 มีนาคม 2546) และฤทธิ์ (2 ตุลาคม 2546) (ค่าเฉลี่ย ± ความคลาดเคลื่อนมาตรฐาน, n=6) | 21 |
| 4 | รูปแบบทางเคมีของสารprotoในดินตะกอนบริเวณนิคมอุตสาหกรรมมาบตาพุด จังหวัดระยอง (ก) ฤทธิ์เดิม (31 มีนาคม 2546) (ข) ฤทธิ์ (2 ตุลาคม 2546)                 | 26 |

# การเปลี่ยนแปลงรูปแบบของสารปรอทในดินตะกอนและน้ำ บริเวณนิคมอุตสาหกรรมนาบตาพุด

## บทนำ

ปรอทเป็นโลหะหนักชนิดหนึ่งที่มีความเป็นพิษสูงสุดต่อสิ่งมีชีวิต เนื่องจากมีความคงทัวสูงในสภาพแวดล้อม มีความเป็นพิษสูงดึงแม่ว่าในระดับความเข้มข้นต่ำๆ สามารถสะสมและเพิ่มข่ายทางชีวภาพ (biomagnification) ในห่วงโซ่อาหาร สารปรอทที่สะสมในห่วงโซ่อาหารสามารถทำให้เกิดอันตรายร้ายแรงต่อสุขภาพอนามัยของมนุษย์ได้จากการนิรโภกอาหารทะเลที่มีการปนเปื้อนสารปรอทดังจะเห็นได้จากนั้นตกลงร้ายแรงของโรคมีนามาตะที่เกิดในประเทศไทยปัจจุบัน เป็นต้น

ปรอทสามารถเข้าสู่แหล่งน้ำได้ทั้งจากกระบวนการธรรมชาติ และจากกิจกรรมของมนุษย์ และเกิดได้ในหลายรูปแบบ (chemical forms) ขบวนการอันซับซ้อนทางด้านฟิสิกส์ เคมี และชีววิทยา ลั่งผลสุดท้ายให้สารปรอทส่วนใหญ่เข้าไปสะสมอยู่ในดินตะกอน อย่างไรก็ตาม สารปรอทในดินตะกอนสามารถถูกปลดปล่อยกลับสู่แหล่งน้ำได้อีก โดยขบวนการต่างๆ สารปรอทที่ถูกปลดปล่อยออกจากดินตะกอนสามารถทำอันตรายต่อสัตว์น้ำ และสะสมได้ในห่วงโซ่อาหาร ดังนั้น ดินตะกอนจึงเปรียบเสมือนเป็นทั้งแหล่งเก็บ (sink) และแหล่งปล่อย (source) ของสารปรอทในแหล่งน้ำ ด้วยเหตุนี้ พฤติกรรมและการเปลี่ยนแปลงของสารปรอทในดินตะกอนจึงได้รับความสนใจในการศึกษาเพิ่มมากขึ้นในช่วงปีที่ผ่านมา

ประเทศไทยได้ประสบปัญหาการเพิ่มขึ้นของสารปรอทในบริเวณชายฝั่งทะเลอันเนื่องมาจากการพัฒนาอุตสาหกรรม และการขุดเจาะก๊าซธรรมชาติในอ่าวไทย (Chongprasith and Wilairatanadilok, 1999) นิคมอุตสาหกรรมนาบตาพุด จังหวัดระยอง เป็นที่ตั้งของอุตสาหกรรมหนักที่สำคัญบริเวณชายฝั่งทะเลภาคตะวันออกอันได้แก่ โรงงานแยกก๊าซธรรมชาติ อุตสาหกรรมปิโตรเคมี อุตสาหกรรมปุ๋ยเคมี อุตสาหกรรมโรงกลั่นน้ำมัน เป็นต้น และเป็นพื้นที่หนึ่งที่ตรวจสอบว่ามีสารปรอทสูงเกินกว่ามาตรฐานที่กำหนดในบางสถานีและบางปี ทั้งนี้ได้มีรายงานการตรวจสอบสารปรอทในน้ำทะเลบริเวณนิคมอุตสาหกรรมนาบตาพุด ในระหว่างปี 2538-2541 มีค่าอยู่ในช่วงระหว่าง 0.01 - 0.48  $\mu\text{g/L}$  ซึ่งสูงเกินกว่าค่ามาตรฐานของปรอทในน้ำทะเลอย่างของประเทศไทยที่กำหนดไว้ให้มีค่าไม่เกิน 0.1  $\mu\text{g/L}$  โดยปริมาณสารปรอทที่ตรวจสอบสูงอยู่ในระหว่างปี 2538 - 2539 (Chongprasith and Wilairatanadilok, 1999) นอกจากนี้ยังตรวจสอบปริมาณสารปรอทค่อนข้างสูงในดินตะกอน บริเวณนิคมอุตสาหกรรมนาบตาพุดอีกด้วย (Chongprasith and Wilairatanadilok, 1999; EVS Environment Consultants, 1999) ปริมาณสารปรอทที่ตรวจสอบสูงทั้งในน้ำทะเลและดินตะกอนบริเวณนิคมอุตสาหกรรมนาบตาพุด เป็นข้อเดือนใจให้หน่วยงานของรัฐที่เกี่ยวข้อง โดยเฉพาะกรมควบคุมมลพิษ

ได้ตระหนักถึงปัญหาการปนเปื้อนของสารprototh ในบริเวณนิคมอุตสาหกรรม และกำหนดไว้เป็นปัญหาในระดับชาติที่จะต้องดำเนินการป้องกัน และแก้ไข รวมตลอดถึงการติดตามตรวจสอบการปนเปื้อนของสารprototh ในน้ำ ดินและกอน ตลอดจนสิ่งมีชีวิตอย่างสม่ำเสมอ

อย่างไรก็ตามข้อมูลของปริมาณprototh ในน้ำ และดินและกอน ในอดีต และปัจจุบัน พบว่าส่วนใหญ่ รายงานไว้ในรูปของปริมาณprotothรวม (total Hg) ซึ่งจะไม่ค่อยมีประโยชน์มากนักในการประเมินผลกระทบที่มีต่อสิ่งแวดล้อม เมื่อจากปริมาณprotothรวมไม่ใช่เป็นปริมาณprotothที่สิ่งมีชีวิตสามารถรับเข้าสู่ร่างกายได้ทั้งหมด สารprotothบางรูปเท่านั้นที่สามารถเข้าสู่ร่างกายของสิ่งมีชีวิตได้ หรือเรียกว่า "bioavailable form" ซึ่งจะสามารถบ่งบอกได้ว่าระดับความเป็นพิษ (toxicity) หากรับเข้าสู่ร่างกายมากเกินไป ดังนั้นข้อมูลของปริมาณprotothรวมแต่เพียงอย่างเดียว ไม่สามารถบ่งชี้ถึง bioavailability และความเป็นพิษ ที่มีต่อสิ่งมีชีวิตได้ ได้เลย เมื่อจากที่ bioavailability และความเป็นพิษของprototh หรือโลหะชนิดอื่นๆ ขึ้นอยู่กับรูปแบบทางเคมี (chemical speciation) ของโลหะชนิดนั้นๆ (Luoma, 1983; Bryan and Langston, 1992) สำหรับในน้ำทะเลนั้น protothในรูปละลาย (dissolved Hg) จัดว่าเป็น bioavailable form ส่วนในดินและกอนนั้น protothในรูปของที่ละลายออกจากดินและกอนได้ง่าย (more soluble fractions) เท่านั้น ซึ่งจะจัดว่าเป็น bioavailable form ดังนั้น จึงมีความจำเป็นที่จะต้องตรวจหาprotothในรูปของ bioavailable form ทั้งในน้ำทะเล และดินและกอน ในบริเวณนิคมอุตสาหกรรม มากตัวพูด

โดยทั่วไปแล้ว ปริมาณโลหะหนักในน้ำทะเล ขึ้นอยู่กับคุณโดยชอบวนการที่สำคัญ ได้แก่ การดูดซับ (adsorption) และการปลดปล่อย (desorption) ทั้งสองขบวนการดังกล่าวมีบทบาทที่สำคัญมากต่อการแพร่กระจาย และการเคลื่อนย้ายกลับไปกลับมา (remobilization) ของprotothในน้ำ และดินและกอน ซึ่งทั้งสองขบวนการขึ้นอยู่กับรูปแบบของprototh เช่น bioavailability และดินและกอน ซึ่งทั้งสองขบวนการขึ้นอยู่กับรูปแบบของprototh เช่น bioavailability และความเป็นพิษ มากเกินไป หรือprotothที่สามารถเข้าสู่ร่างกายได้โดยตรง เช่น การเปลี่ยนแปลงความเค็ม ความเป็นกรดเป็นด่าง การมีออกซิเจน หรือไร้ออกซิเจน (redox potential; Eh) ปริมาณสารอินทรีย์ และ chelating agents บางชนิด เป็นต้น

ความรู้ ความเข้าใจในเรื่องดังกล่าวข้างต้น จะช่วยทำให้เราเข้าใจดีขึ้น ถึงการนำพา (transport) การเปลี่ยนแปลงรูปแบบ (transformation) และ เส้นทางเดิน (fate) ของสารprototh หลังจากถูกปล่อยออกมาน้ำทึ่งของโรงงานอุตสาหกรรมลงสู่ทะเล รวมถึง bioavailability และความเป็นพิษ ของสารprotothที่อาจมีต่อสัตว์น้ำ หรือสิ่งมีชีวิตอื่นในบริเวณนิคมอุตสาหกรรมมหาตพุต ซึ่งข้อมูลดังกล่าวมีอยู่จำกัด หรือน้อยมากในประเทศไทย โดยเฉพาะในบริเวณนิคมอุตสาหกรรมมหาตพุตซึ่งเป็นพื้นที่หนึ่งที่มีปัญหาการปนเปื้อนของสารprototh ไม่มีปรากฏในรายงานการศึกษามาก่อน

### วัตถุประสงค์ของโครงการวิจัย

วัตถุประสงค์ของโครงการ โดยทั่วไป เพื่อให้เกิดความรู้ ความเข้าใจ ที่ดีขึ้นเกี่ยวกับพฤติกรรม และการเปลี่ยนแปลงรูปแบบของสารprototh เมื่อเข้าสู่น้ำ และดินและกอน ในบริเวณนิคมอุตสาหกรรม

นาบตาพุค ปริมาณprotoที่ในน้ำ และคินตะกอนที่สามารถเข้าสู่ร่างกายสัตว์น้ำได้ (bioavailable form) ปรากฏการณ์การดูดซับ (adsorption) และการปลดปล่อย (desorption) ของสารprotoที่เกิดขึ้นในคินตะกอน และปัจจัยแวดล้อมที่มีอิทธิพล ตลอดจนปริมาณprotoที่สะสมอยู่ในสัตว์ทะเล สำหรับวัตถุประสงค์จำเพาะสามารถจำแนกได้ดังนี้

1. ศึกษาการแพร่กระจายของสารproto ในน้ำทะเลบริเวณนิคมอุตสาหกรรมมาบตาพุค
2. ศึกษาการแพร่กระจายของสารprotoในคินตะกอน และความสัมพันธ์ระหว่างปริมาณprotoรวม และคุณสมบัติทางเคมี ของคินตะกอน
3. ศึกษารูปแบบทางเคมี (geochemical forms) ของสารprotoในคินตะกอน และประเมินค่า bioavailable form ของสารprotoในคินตะกอน
4. ศึกษาขบวนการดูดซับ (adsorption) และการปลดปล่อย (desorption) ของสารproto และประเมินค่าความจุ (capacity) ของคินตะกอนที่จะสามารถดูดซับ และปลดปล่อยสารprotoออกมากสุด แหล่งน้ำ ตลอดจนความสัมพันธ์ระหว่างคุณสมบัติทางเคมี และคินตะกอนที่มีต่อขบวนการทั้งสอง
5. ศึกษาอิทธิพลของความเค็ม ที่มีต่อขบวนการดูดซับ และการปลดปล่อยสารproto เนื่องจากความเค็มมีผลต่อการเปลี่ยนแปลงรูปแบบทางเคมีของproto (Hg species) จากขบวนการ chloride complexation ซึ่งจะส่งผลต่อการดูดซับสารprotoเข้าสู่คินตะกอน
6. ศึกษาปริมาณการสะสมของสารprotoในสัตว์ทะเลที่มีคุณค่าทางเศรษฐกิจบริเวณดังกล่าว และความสัมพันธ์ระหว่างปริมาณprotoกับขนาดหรือน้ำหนักของสัตว์ทะเล

เนื่องจากโครงการวิจัยดังกล่าวเป็นโครงการค่อเนื่อง 2 ปี (ปีงบประมาณ 2546-2547) โดยวัตถุประสงค์ของการวิจัยในปีงบประมาณ 2546 ครอบคลุมวัตถุประสงค์ในข้อ 1-3 และวัตถุประสงค์ของการวิจัยในปีงบประมาณ 2547 ครอบคลุมวัตถุประสงค์ในข้อ 4-6 ดังนั้นรายงานฉบับนี้จึงรายงานเฉพาะผลการวิจัยในปีแรกเท่านั้น

## อุปกรณ์และวิธีการ

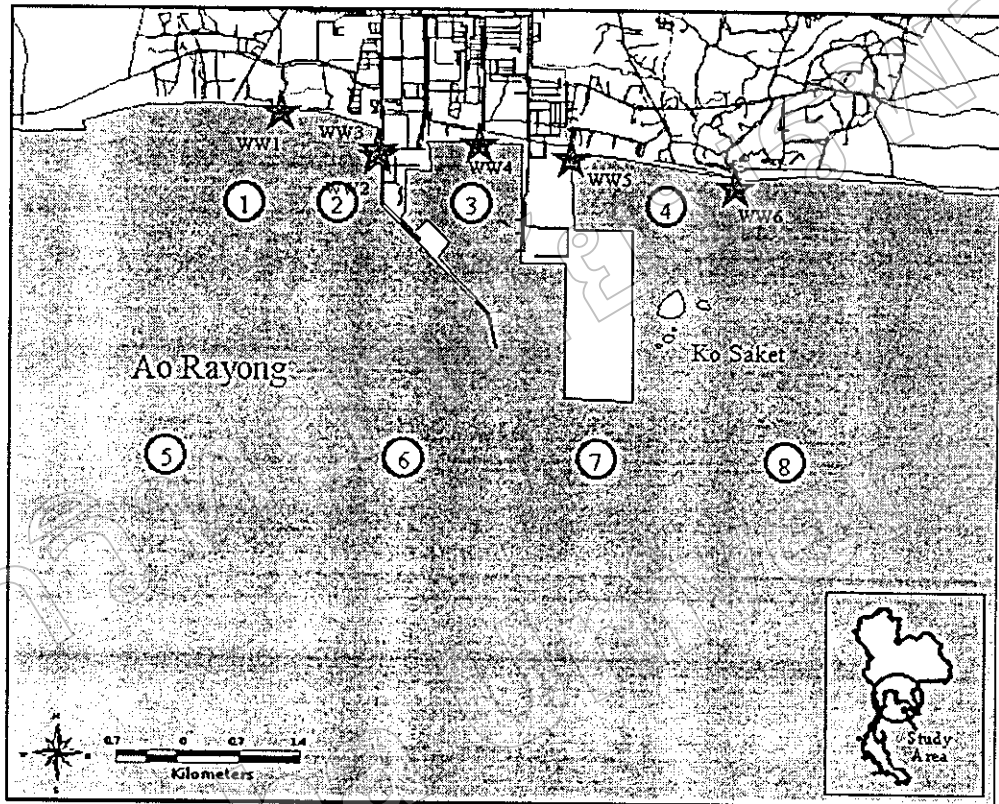
### 1. การสำรวจพื้นที่ และกำหนดสถานีเก็บตัวอย่าง

ทำการสำรวจพื้นที่โดยประสานงานกับสำนักงานนิคมอุตสาหกรรมมาบตาพุค จังหวัดระยอง เพื่อกำหนดสถานีเก็บตัวอย่างในบริเวณนิคมอุตสาหกรรมมาบตาพุค ให้ครอบคลุมพื้นที่ของการนิคม อุตสาหกรรมมาบตาพุค และพื้นที่ที่ได้รับอิทธิพลจากน้ำทึบของนิคมอุตสาหกรรมมาบตาพุค และนิคม อุตสาหกรรมตะวันออก ทั้งนี้ได้แบ่งจุดเก็บตัวอย่างออกเป็น 2 แนวคือ ระยะใกล้ฝั่ง 500-1000 เมตร (สถานี 1-4) และระยะไกลฝั่งไม่เกิน 5 กิโลเมตร (สถานี 5-8) เพื่อดูการแพร่กระจาย โดยมีจุดเก็บ

ตัวอย่างทั้งหมด 8 สถานี นอกจากนี้ได้กำหนดสถานีเก็บตัวอย่างน้ำทิ้งบนฝั่งเพิ่มอีก 6 สถานีด้วย (WW1 – WW6) รายละเอียดสถานีเก็บตัวอย่างแสดงในตารางที่ 1 และภาพที่ 1

ตารางที่ 1 ตำแหน่งสถานีเก็บตัวอย่างน้ำทะเลและдинตะกอนบริเวณนิคมอุตสาหกรรมนาบตาพุดและบริเวณใกล้เคียง จังหวัดระยอง

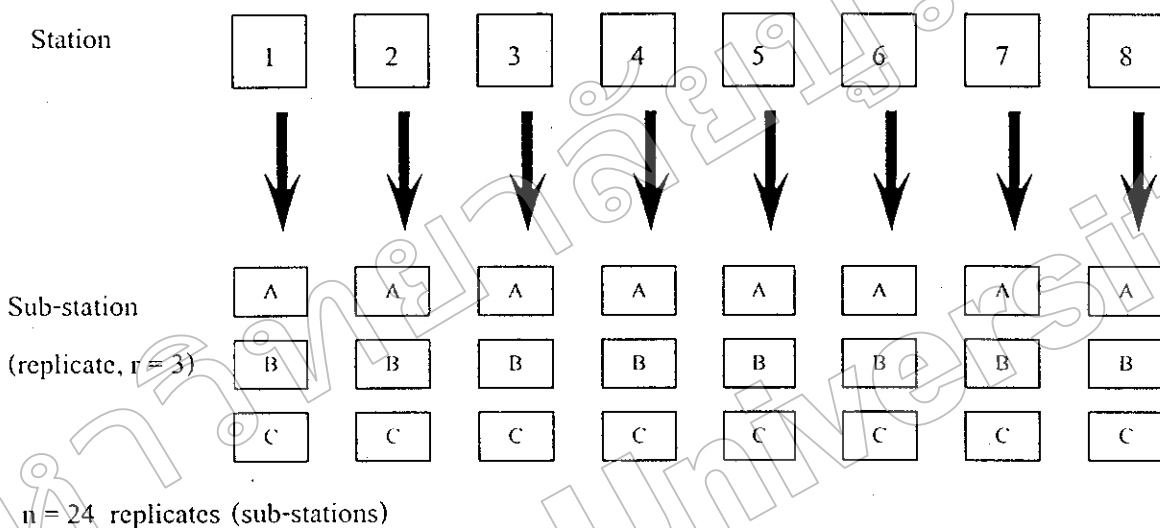
Station No.	Latitude	Longitude	Remark
1	N 12° 39' 57.8"	E 101° 07' 13.9"	
2	N 12° 39' 29.9"	E 101° 08' 04.2"	
3	N 12° 39' 39.4"	E 101° 08' 49.3"	
4	N 12° 39' 21.3"	E 101° 10' 36.7"	
5	N 12° 37' 30.8"	E 101° 06' 25.2"	
6	N 12° 37' 38.6"	E 101° 07' 41.9"	
7	N 12° 37' 38.8"	E 101° 09' 55.8"	
8	N 12° 37' 56.1"	E 101° 11' 25.9"	
WW1	N 12° 40' 14.1"	E 101° 07' 25.0"	Wastewater sampling
WW2	N 12° 40' 08.9"	E 101° 08' 09.0"	Wastewater sampling
WW3	N 12° 40' 09.9"	E 101° 08' 09.7"	Wastewater sampling
WW4	N 12° 40' 0.3"	E 101° 08' 55.8"	Wastewater sampling
WW5	N 12° 40' 17.5"	E 101° 09' 38.8"	Wastewater sampling
WW6	N 12° 39' 44.6"	E 101° 10' 59.6"	Wastewater sampling



ภาพที่ 1 สถานีเก็บตัวอย่างน้ำทะเลและดินตะกอนบริเวณนิคมอุตสาหกรรมมาบตาพุด  
และบริเวณใกล้เคียง จังหวัดระยอง

## 2. ระยะเวลาและวิธีการเก็บตัวอย่างน้ำทะเล และดินตะกอน

เก็บตัวอย่างน้ำทะเลและดินตะกอน รวม 2 ครั้ง คือในฤดูน้ำขึ้นอยหรือฤดูแล้งในวันที่ 31 มีนาคม 2546 และฤดูน้ำมากหรือฤดูฝนในวันที่ 2 ตุลาคม 2546 สำหรับตัวอย่างน้ำทึบเก็บในวันที่ 12 พฤษภาคม 2546 และวันที่ 30 กันยายน 2546 เพื่อศึกษาอิทธิพลของฤดูกาลที่มีต่อการสะสมสารปรอทในน้ำและดินตะกอน ในแต่ละสถานีได้แบ่งออกเป็น 3 sub-stations โดยมีระยะห่างกันประมาณ 50 เมตร เพื่อให้มีจำนวนช้าของการเก็บตัวอย่างสถานีละ 3 ช้า รวมทั้งหมด 24 sub-stations หรือ 24 ช้า ดังรายละเอียดในแผนผัง



ตัวอย่างน้ำทะเลเก็บโดยใช้เครื่องมือเก็บตัวอย่างน้ำที่ไม่ได้ทำด้วยโลหะ (Niskin, non-metallic convertible water sampler) ที่ความลึก 2 ระดับ คือ ผิวน้ำ และเหนือพื้นดิน ตัวอย่างน้ำที่ได้จะเก็บในขวดแก้วไฟเบอร์ซึ่งมีฝารองในเป็น Teflon พร้อมทั้งเติมกรดไฮโดรคลอริกเข้มข้น เพื่อให้ pH ของน้ำค่อนข้างต่ำกว่า 2 ( $pH \leq 2$ ) และเก็บในถังแช่เย็น นอกจากนี้ทำการตรวจดูคุณภาพน้ำขึ้นพื้นฐานได้แก่ อุณหภูมิ ความเค็ม ความเป็นกรด-ด่าง ความโปร่งแสง ออกซิเจนละลายน้ำ และสารอินทรีย์ที่ละลายน้ำในรูปของ Fluorescence intensity unit (DOC Fluorescence) ตามวิธีของ Hayase and Tsubota (1985) ของแต่ละสถานีไว้ด้วย

สำหรับดินตะกอน เก็บโดยใช้เครื่องเก็บตัวอย่างดินแบบ Petersen grab หลังจากนั้นนำมาเก็บไว้ในตู้แช่แข็ง และทำให้แห้งโดยใช้เครื่อง Freeze dryer

## 3. การวิเคราะห์หาปริมาณปรอท (Mercury Analysis)

ปริมาณปรอทในน้ำทะเลทำการสกัดตัวอย่างโดยใช้วิธี  $\text{BrCl}$  oxidation วิเคราะห์โดยใช้เทคนิค Cold Vapour Atomic Fluorescence Spectrometry (CVAFS) และวัดหาความเข้มข้นด้วยเครื่อง

Atomic Fluorescence Spectrophotometer (P.S. Analytical Ltd. รุ่น Merlin) ส่วนดินตะกอนทำการสกัดด้วยส่วนผสมของ 9:1 HNO<sub>3</sub>/HCl ตามวิธีของ Randlesome and Aston (1980) วิเคราะห์โดยใช้เทคนิค Cold Vapour Atomic Absorption Spectrometry (CVAAS) และวัดหาความเข้มข้นด้วยเครื่อง Z4100 Atomic Absorption Spectrophotometer (Perkin-Elmer) ใช้ระบบ Flow Injection Mercury Hydried System (FI-MHS) ทำการวิเคราะห์ตัวอย่างละ 2 ชั้ม

ความถูกต้องของผลการวิเคราะห์ สำหรับตัวอย่างน้ำทะเลตรวจสอบโดยการหาค่า % recovery หลังจากที่เติมสารละลายน้ำตรฐานของปรอทที่ทราบความเข้มข้นลงในตัวอย่างน้ำทะเล พบร้า % recovery มีค่าอยู่ในช่วงระหว่าง 88.44-102.49 % (ตารางที่ 2) ส่วนตัวอย่างดินตะกอนตรวจสอบกับดินตะกอนทะเลมาตรฐานที่ทราบความเข้มข้น (Marine Sediment Reference Material; MESS-3) จาก National Research Council Canada นอกจากนี้ตรวจสอบความแม่นยำของผลการวิเคราะห์ (precision) โดยคำนวณหาค่า % RSD (Relative Standard Deviation) ดังแสดงในตารางที่ 3

ตารางที่ 2 % Recovery ของการวิเคราะห์ปริมาณปรอทในน้ำทะเล

Sample	Hg Added ( $\mu\text{g L}^{-1}$ )	Hg Found ( $\mu\text{g L}^{-1}$ )	% Recovery
A	0	0.0042	
A	0.01	0.0130	88.44
B	0	0.0042	
B	0.01	0.0135	93.64
C	0	0.0026	
C	0.01	0.0114	88.44
D	0	0.0083	
D	0.01	0.0182	98.85
E	0	0.0026	
E	0.1	0.0999	97.28
F	0	0.0068	
F	0.1	0.1046	97.80
G	0	0.0078	
G	0.1	0.1056	97.80
H	0	0.0036	
H	0.1	0.1061	102.49

ตารางที่ 3 ผลการวิเคราะห์ดินตะกอนทะเลมาตรฐาน (MESS-3)

Heavy Metal	Certified Value ( $\mu\text{g g}^{-1}$ dry weight)	Measured Value ( $\mu\text{g g}^{-1}$ dry weight) (n = 9)	% Recovery	% RSD
Hg	$0.091 \pm 0.009$	$0.087 \pm 0.008$	81.32 - 109.89	9.25

#### 4. การศึกษารูปแบบทางเคมีของสารปรอทในดินตะกอน (Fractionation of Mercury in Sediments)

รูปแบบทางเคมีของสารปรอทในดินตะกอนทำการศึกษาโดยใช้เทคนิค sequential extraction ตามวิธีของ Tessier et al. (1979) ซึ่งได้แบ่งรูปแบบทางเคมีของโลหะในดินตะกอนไว้ 5 รูป ได้แก่

- F1 exchangeable
- F2 bound to carbonates
- F3 bound to Fe and Mn oxides
- F4 bound to organic matter and sulfide
- F5 residual

นำดินตะกอนของแต่ละสถานีที่ทำให้แห้งแล้ว มาทำการสกัดอย่างต่อเนื่องตามลำดับ ตามวิธีที่ได้อธิบายไว้ใน Tessier et al (1979) ดังแสดงในตารางที่ 4 ทำการทดลองด้วยขั้นตอน 2 ชั้น ข้อมูลที่ได้จะบอกถึงรูปแบบทางเคมีของสารปรอทในดินตะกอน นอกจานี้สามารถใช้ในการคำนวณ หรือประเมินค่า bioavailability และการเคลื่อนที่ (mobility) ของสารปรอทในดินตะกอนอีกด้วย

ตารางที่ 4 การสกัดหารูปแบบทางเคมีของสารปรอทในดินตะกอน โดยวิธี sequential extraction

Fraction	Extracted Component	Extractant	Process
F1	Exchangeable	8 mL of 1 M MgCl <sub>2</sub> , pH 7.0	Shake for 1 h
F2	Bound to Carbonates	8 mL of 1 M NaOAc, (pH 5.0 with HOAc)	Shake for 5 h
F3	Bound to Fe-Mn Oxides	20 mL of 0.04 M NH <sub>2</sub> OH. HCl in 25% (V/V) HOAc	96 ±3°C for 6 h, Occasional shaking
F4	Bound to Organic Matter and Sulfide	(a) 3 mL of 0.02 M HNO <sub>3</sub> + 5 mL of 30% H <sub>2</sub> O <sub>2</sub> (pH 2.0 with HNO <sub>3</sub> ) (b) 3 mL of 30% H <sub>2</sub> O <sub>2</sub> (pH 2.0 with HNO <sub>3</sub> ) (c) 5 mL of 3.2 M NH <sub>4</sub> OAc in 20% (V/V) HNO <sub>3</sub> And dilute to 20 mL	(a) Heat to 85±2° for 2 h with occasional shaking (b) Heat to 85±2° for 3 h with intermittent shaking, then cool (c) shake for 30 min
F5	Residual	9:1 HNO <sub>3</sub> /HCl mixture	Same technique as for total Hg analysis in sediments

สำหรับความถูกต้องของวิธี sequential extraction ตรวจสอบโดยนำดินตะกอนที่มาตราฐานที่ทราบความเข้มข้น (Marine Sediment Reference Material; MESS-3) มาทำการสกัดพร้อมกับตัวอย่าง แล้วนำผลรวมของทั้ง 5 fraction มาเปรียบเทียบกับค่าความเข้มข้นของปรอท (certified value) ในดินตะกอนที่มาตราฐาน ผลการศึกษาแสดงในตารางที่ 5

ตารางที่ 5 Sequential extraction ของคินตะกอนทะเลมาตรฐานที่ทราบความเข้มข้น (MESS-3)

Fraction	MESS-3 ( $\mu\text{g g}^{-1}$ dry weight)				Mean $\pm$ SD
	1	2	3	4	
F1	0.0023	0.0007	nd	nd	
F2	nd	nd	nd	nd	
F3	0.0028	0.0037	0.0033	0.0029	
F4	0.0076	0.0059	0.0029	0.0020	
F5	0.1077	0.0916	0.1012	0.1074	
Sum	0.120	0.102	0.107	0.112	0.111 $\pm$ 0.008
Certified value	0.091	0.091	0.091	0.091	0.091
% Recovery	132.31	111.98	118.02	123.41	121.43 $\pm$ 8.63

หมายเหตุ: F1 และ F2 nd = 0.0003  $\mu\text{g g}^{-1}$  dry weight

### 5. การสกัดหาปริมาณprotoในคินตะกอนที่สามารถเข้าสู่ร่างกายได้ (Extraction of Bioavailable Form of Mercury in Sediments)

protoในรูปของ bioavailable form ในคินตะกอน ทำการสกัดโดยใช้ selective dissolution technique ซึ่งทำการสกัดด้วย 0.5 N HCl ตามวิธีของ Chester and Voutsinou (1981) ทำการวิเคราะห์ตัวอย่างละ 2 ช้อน

### 6. การวิเคราะห์คุณสมบัติของคินตะกอน (Sediment Characterization)

วิเคราะห์คุณสมบัติทางพิสิกส์และเคมีของคินตะกอน ตัวอย่างละ 2 ช้อน เพื่อใช้ในการหาความสัมพันธ์กับปริมาณprotoที่สะสมอยู่ในคินตะกอน โดยการคำนวณหาค่าสัมประสิทธิ์สหสัมพันธ์แบบเพียร์สัน (Pearson correlation coefficient, r) ด้วยโปรแกรม SPSS 10.0 คุณสมบัติของคินตะกอนที่ทำการวิเคราะห์และวิธีวิเคราะห์แสดงในตารางที่ 6

**ตารางที่ 6 คุณสมบัติทางพิสิกส์และเคมีของดินตะกอนที่ทำการวิเคราะห์และวิชีวิเคราะห์**

Parameter	Method of Analysis	Reference
pH	pH meter (1:2.5 sediment: water)	
Cation exchange capacity (CEC)	Ammonium acetate saturation *	
Organic matter	Acid-dichromate oxidation	Nelson and Sommers (1982)
Calcium carbonate	Gravimetric method for loss of carbon dioxide	Goh et al. (1993)
Total Fe and Mn oxides	Dithionite-citrate method	Ross and Wang (1993)
Amorphous Fe and Mn oxides	Acid ammonium oxalate	Ross and Wang (1993)
Particle size distribution	Hydrometer method	Sheldrick and Wang (1993)
Sediment texture	Textural triangle	Hillel (1998)

\* วิเคราะห์โดย ภาควิชาปฐพีวิทยา คณะเกษตร มหาวิทยาลัยเกษตรศาสตร์

**ผลและวิจารณ์ผล**

ผลการศึกษา พบว่า คุณภาพน้ำทะเลเพื่อนฐานโดยทั่วไปทั้ง 2 ถุ๊ มีค่าไม่แตกต่างกันมากนัก ดังแสดงในตารางที่ 7 และ 8

ตารางที่ 7 คุณภาพน้ำทะเลบริเวณชายฝั่งทะเล นิคมอุตสาหกรรมมานาคพุด จังหวัดระยอง ในฤดูแล้ง<sup>†</sup>  
(31 มีนาคม 2546)

Station	Depth (m)	Transparency (m)		Temp. (°C)	Salinity (psu)	pH	DO (mg L <sup>-1</sup> )	DOC Fluorescence (Unit)
							Humic Acid	Fulvic Acid
1	4	2.1	Surface	31.5	31	8.2	8.3	0.34
			Bottom	31	31	8.2	7.5	0.36
			Average	31.3	31	8.2	7.9	0.35
2	4	1.5	Surface	32	30	8.2	8.3	0.25
			Bottom	31	30	8.2	7.8	0.31
			Average	31.5	30	8.2	8.1	0.28
3	11.9	2.4	Surface	31	30	8.3	8.6	0.29
			Bottom	30	30	8.2	7.2	0.26
			Average	30.5	30	8.2	7.9	0.28
4	3.9	1.4	Surface	31	30	8.2	9.5	0.36
			Bottom	31	31	8.2	9.0	0.33
			Average	31	30.5	8.2	9.3	0.34
5	16	11	Surface	30	30	8.1	8.4	0.22
			Bottom	29	31	8.2	8.0	0.25
			Average	29.5	30.5	8.1	8.2	0.23
6	14.5	7	Surface	31	30	8.2	8.2	0.27
			Bottom	30	31	8.2	8.0	0.24
			Average	30.5	30.5	8.2	8.1	0.26
7	12	1.5	Surface	31	30	8.2	9.0	0.40
			Bottom	30	32	8.2	7.5	0.23
			Average	30.5	31	8.2	8.3	0.31
8	11	2.1	Surface	31	30	8.2	8.4	0.32
			Bottom	30	31	8.2	8.0	0.32
			Average	30.5	30.5	8.2	8.2	0.32

ตารางที่ 8 คุณภาพน้ำทะเลในบริเวณชายฝั่งทะเล นิคมอุตสาหกรรมนาบตาพุด จังหวัดระยอง ในฤดูฝน  
(2 ตุลาคม 2546)

Station	Depth (m)	Transparency (m)	Temp. (°C)	Salinity (psu)	pH	DO (mg L <sup>-1</sup> )	DOC Fluorescence (Unit)	
							Humic Acid	Fulvic Acid
1	4.3	2.1	Surface	31.2	27	8.2	8.0	0.22
			Bottom	30.8	28	8.2	6.5	0.20
			Average	31.0	27.5	8.2	7.2	0.21
2	4.7	3.2	Surface	32.6	27	8.2	6.4	0.18
			Bottom	30.2	28	8.2	6.3	0.20
			Average	31.4	27.5	8.2	6.4	0.19
3	10.6	2.4	Surface	31.3	28	8.4	9.6	0.22
			Bottom	30.3	29.3	8.2	6.0	0.19
			Average	30.8	28.7	8.3	7.8	0.20
4	4.5	0.8	Surface	31.2	26	8.3	8.6	0.36
			Bottom	30.7	27	8.3	7.9	0.25
			Average	31.0	26.5	8.3	8.2	0.30
5	8.2	5	Surface	29.9	27	8.3	6.5	0.22
			Bottom	29.6	28	8.1	6.1	0.16
			Average	29.8	27.5	8.2	6.3	0.19
6	14.5	6.2	Surface	30.3	25	8.2	6.8	0.20
			Bottom	29.6	24	8.2	6.4	0.16
			Average	30.0	24.5	8.2	6.6	0.18
7	9.5	3.4	Surface	30.0	28	8.3	6.9	0.22
			Bottom	29.6	29	8.1	6.5	0.16
			Average	29.8	28.5	8.2	6.7	0.19
8	11.2	4.5	Surface	30.3	27	8.3	6.4	0.19
			Bottom	29.9	30	8.2	6.0	0.17
			Average	30.1	28.5	8.2	6.2	0.18

สำหรับลักษณะของดินตะกอนพื้นท้องทะเลที่สำรวจพบในถูกแบ่งโดยส่วนใหญ่เป็นดินทราย และดินร่วนปูนทราย มีเนื้อดินเหนียวค่อนข้างตื้ออยู่ระหว่าง 2.7 - 20.6 % ปริมาณสารอินทรีย์ในดินตะกอนพื้นค่อนข้างน้อย คืออยู่ในช่วง 0.38-2.43 % มีค่าความเป็นกรด-ค่าง อยู่ในช่วง 7.9 - 8.3 ปริมาณแคลเซียมคาร์บอนেตอยู่ในช่วง 0.83-17.46 % และค่าความชุ่มในการแยกเปลี่ยนประจุบวกของดินหรือ CEC อยู่ระหว่าง 0.87 - 15.27 centimoles per kilogram ( $\text{cmol kg}^{-1}$ ) (ตารางที่ 9) ส่วนในถูกผ่านลักษณะของดินตะกอนเป็นดินทรายและเลนปูนทราย มีเนื้อดินเหนียวค่อนข้างตื้อ เช่นกันอยู่ระหว่าง 1.9 - 42.5 % ปริมาณสารอินทรีย์อยู่ระหว่าง 0.24-2.05 % ค่าความเป็นกรด-ค่างของดินตะกอนอยู่ระหว่าง 8.0-8.9 ปริมาณแคลเซียมคาร์บอนे�ตอยู่ในช่วง 1.20-13.81 % และค่า CEC อยู่ระหว่าง 1.13 - 12.77  $\text{cmol kg}^{-1}$  (ตารางที่ 10 )

จากคุณลักษณะของดินตะกอนดังกล่าว เมื่อแบ่งตามประเภทดิน (soil classes) ของ US.EPA (Boulding, 1994) จัดว่า ดินตะกอนพื้นท้องทะเลบริเวณนี้คือดินอุดစากกรรมนาบตาพุดเป็นดินที่มีสารอินทรีย์ต่ำ (low, สารอินทรีย์ 0.5-1.0 %) ถึงต่ำปานกลาง (moderately low, สารอินทรีย์ 1.0-2.0 %) ดินตะกอนมีคุณสมบัติเป็นค่างในระดับปานกลาง (moderately alkaline, pH 7.9-8.4) ถึงค่างสูง (strongly alkaline, pH 8.5-9.0) และมีค่า CEC อยู่ในระดับต่ำ ( $< 12 \text{ cmol kg}^{-1}$ ) ยกเว้นสถานีที่ 3 ซึ่งอยู่บริเวณตอนในของนิคมมีค่า CEC อยู่ในระดับปานกลาง ( $12 - 20 \text{ cmol kg}^{-1}$ ) ทั้งนี้เนื่องจากดินตะกอนมีสารอินทรีย์น้อย จึงทำให้มีค่า CEC น้อยตามไปด้วย เพราะสารอินทรีย์เป็นต้นกำเนิดของค่า CEC ในดิน (Sparks, 1995) จากลักษณะที่สำคัญโดยเฉพาะปริมาณสารอินทรีย์ เนื้อดินเหนียว และค่า CEC จึงคาดได้ว่าดินตะกอนบริเวณนี้มีความสามารถในการดูดซับสารปรอทรวมทั้งโลหะอื่นได้น้อย

ตารางที่ 9 คุณสมบัติเคมีทางดินและนิวเคลียร์ของดินในพื้นที่ทดลอง จังหวัดราชบุรี ในฤดูแล้ง (31 มีนาคม 2546)

Station	pH	CaCO <sub>3</sub> Equivalent (%)	Organic Matter (%)	CEC (cmol kg <sup>-1</sup> )	Total (Free) Oxides (mg g <sup>-1</sup> )		Amorphous Oxides (mg g <sup>-1</sup> )		Particle Size Distribution (%)		Texture Class
					Fe	Mn	Fe	Mn	Sand	Silt	
1	8.0	17.46	1.15	4.27	4.39	2.23	0.207	0.130	82.9	8.0	9.2 Loamy Sand
2	8.3	2.57	0.38	0.87	1.37	0.82	0.060	0.051	95.9	1.4	2.7 Sand
3	7.8	0.86	1.75	15.27	4.52	1.32	0.071	0.057	27.0	52.4	20.6 Silt Loam
4	8.1	5.29	0.36	1.33	1.46	1.02	0.068	0.054	94.7	1.3	4.0 Sand
5	8.1	2.06	0.52	2.60	0.94	0.77	0.046	0.035	92.2	4.5	3.3 Sand
6	8.1	2.14	0.76	2.00	0.89	0.73	0.028	0.025	94.4	1.9	3.8 Sand
7	7.9	4.70	2.43	11.67	4.07	1.76	0.091	0.069	39.6	49.5	10.9 Loam
8	7.9	2.21	0.76	4.07	1.67	1.16	0.052	0.036	85.4	8.2	6.5 Loamy Sand
WW1*	7.7	1.34	1.08	4.53	6.41	0.080	3.13	0.057	90.6	9.18	7.6 Sand
WW6*	7.6	2.72	1.35	1.07	2.07	0.026	1.00	0.019	91.8	3.7	4.5 Sand

\* ตกลงสูญเสียตัวอย่าง

ตารางที่ 10 คุณสมบัติในดินของรากวัวงาข้าวหลามทรายดิน粘土ติดทางธรณีภysical จังหวัดราชบุรี ประเทศไทย (ฤดูน้ำมาก 2546)

Station	pH	CaCO <sub>3</sub> Equivalent (%)	Organic Matter (%)	CEC (cmol K <sup>+</sup> g <sup>-1</sup> )	Total (Free) Oxides (mg g <sup>-1</sup> )		Amorphous Oxides (mg g <sup>-1</sup> )		Particle Size Distribution (%)			Texture Class
					Fe	Mn	Fe	Mn	Sand	Silt	Clay	
1	8.3	6.88	2.05	4.40	5.03	0.243	2.30	0.137	77.8	13.2	9.0	Sandy loam
2	8.3	4.60	1.29	7.89	5.43	0.239	2.68	0.165	78.9	12.7	8.4	Sandy loam
3	8.3	2.04	1.34	12.77	4.87	0.067	2.03	0.057	40.7	33.2	26.2	Loam
4	8.5	13.81	0.55	1.87	2.57	0.068	1.45	0.041	91.7	2.0	6.3	Sand
5	8.9	3.14	0.24	0.87	0.31	0.010	0.60	0.008	97.4	0.7	1.9	Sand
6	8.8	1.76	0.45	1.47	0.88	0.028	0.65	0.031	95.5	2.1	2.4	Sand
7	8.0	1.20	0.76	9.00	27.80	0.073	1.27	0.049	10.2	47.3	42.5	Silty clay
8	8.8	1.46	0.90	1.13	1.58	0.026	0.95	0.028	96.6	0.8	2.6	Sand
WW1*	7.9	5.22	5.04	12.78	22.80	0.404	7.81	0.181	77.3	13.7	9.0	Sandy loam
WW6*	7.0	0.28	1.72	6.00	7.92	0.230	3.79	0.209	54.3	27.3	18.4	Sandy loam

\* ต้นไม้ผลลัพธ์ยังไม่รู้สึก

ผลการศึกษาปริมาณprotothrin ในน้ำทะเลพบว่ามีค่าอนุមากทั้ง 2 ฤดู (ตารางที่ 11) ซึ่งค่าที่ตรวจพบต่ำกว่ามาตรฐานคุณภาพน้ำชายฝั่งทะเลของไทยอย่างไรก็ไม่เกิน 0.1 ไมโครกรัมต่อลิตร ส่วนปริมาณprotothrin ในน้ำทึ่งพบว่า มีค่าสูงกว่าในน้ำทะเลทั้ง 2 ฤดูและในฤดูฝนพบสูงกว่าฤดูแล้ง (ตารางที่ 12)

ตารางที่ 11 ปริมาณprotothrin ในน้ำทะเลบริเวณชายฝั่งทะเล นิคมอุตสาหกรรมมาบตาพุด จังหวัดระยอง ในฤดูแล้ง (31 มีนาคม 2546) และฤดูฝน (2 ตุลาคม 2546) (หน่วยเป็น  $\text{ng L}^{-1}$ )

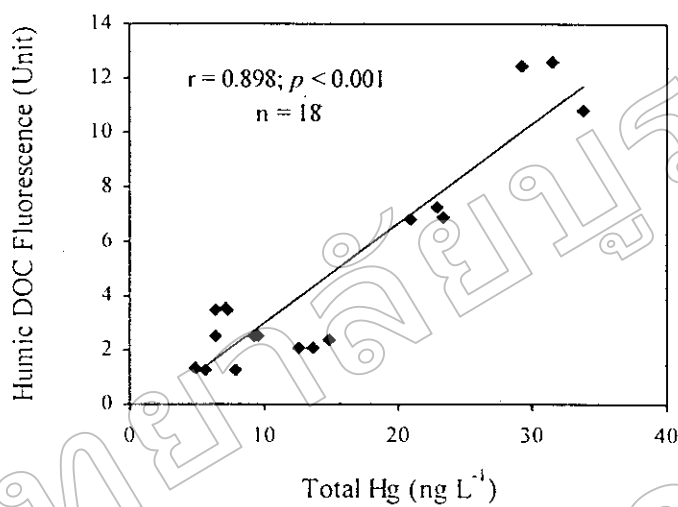
Station	Dry Season (March 2003)			Wet Season (October 2003)		
	Surface (n = 6)	Bottom (n = 6)	Mean ± SE (n = 12)	Surface (n = 6-9)	Bottom (n = 6-9)	Mean ± SE (n = 12-18)
1	2.00	2.17	2.08 ± 0.62	3.87	3.57	3.37 ± 0.37
2	3.83	3.00	3.42 ± 1.73	nd	2.25	nd
3	5.67	3.67	4.67 ± 0.69	nd	nd	nd
4	4.33	5.33	4.83 ± 1.44	4.28	4.78	4.42 ± 0.70
5	5.00	6.00	5.50 ± 1.22	7.73	5.84	7.60 ± 1.04
6	5.67	nd	nd	12.80	9.67	11.70 ± 0.97
7	4.17	2.67	3.42 ± 1.06	9.13	7.30	7.68 ± 1.03
8	4.00	4.33	4.17 ± 0.28	4.00	nd	nd

หมายเหตุ : nd = < 2  $\text{ng L}^{-1}$

ตารางที่ 12 คุณภาพน้ำที่จุดการริบาร์โดยรอบน้ำพื้นดินอุตสาหกรรมมาบตาพุดและบริเวณใกล้เคียง ในฤดูแล้ง (12 พฤษภาคม 2546) และฤดูฝน  
(30 กันยายน 2546)

Station	Location	Dry Season (May 2003)				Wet Season (October 2003)				
		Salinity (psu)	pH	DOC Fluorescence (Unit) Humic Acid	Total Hg (ng L <sup>-1</sup> )	Salinity (psu)	pH	DOC Fluorescence (Unit) Humic Acid	Total Hg (ng L <sup>-1</sup> )	
WW1	คลองบางปีก น้ำที่จุดกิม อุตสาหกรรมมาบตาพุดและชุมชน	10	7.9	2.27	189.08	2.22	5	7.7	3.50	204.96
WW2	น้ำที่จุดกิม น้ำที่ซึ่งส่วนมากของน้ำมีความเข้มข้นสูง น้ำที่จุดกิม อุตสาหกรรมมาบตาพุด โดยเฉพาะ รวมกับน้ำที่อุตสาหกรรมมาบตาพุด ที่อยู่ติดกัน	8	7.0	3.46	198.03	5.44	3	6.7	1.28	128.92
WW3	น้ำที่จุดกิม น้ำที่ซึ่งส่วนมากของน้ำมีความเข้มข้นสูง น้ำที่จุดกิม อุตสาหกรรมมาบตาพุด โดยเฉพาะ	4	6.8	2.08	689.80	6.67	2	6.9	2.17	882.53
WW4	น้ำที่จุดกิม น้ำที่ซึ่งเป็นน้ำที่ซึ่งส่วนมากของน้ำมีความเข้มข้นสูง โรงจอดรถ 10 ล้อ ซึ่งเป็นโรงจอด ซึ่งแหล่งกำเนิดของน้ำมีความเข้มข้นสูง รวมรวมกับน้ำที่จุดกิม ที่อยู่ติดกัน	3	7.1	3.86	218.86	7.00	1	7.5	2.53	150.01
WW5	คลองระบายน้ำที่ทางกรั่นน้ำ อุตสาหกรรมและน้ำจราจรในเขต น้ำสีน้ำเงิน	20	7.7	1.85	143.34	5.56	1	7.4	6.997	167.35
WW6	ปากคลองท่อวัว น้ำที่จุดกิม ชุมชนบ้านนาพุด คลองน้ำป่า	4	7.9	5.33	344.82	3.44	1	7.1	11.96	151.38

นอกจากนี้ยังพบว่าปริมาณprotoรวมในน้ำทึ้งที่พบสูงในกคุฟนนั้นมีความสัมพันธ์ค่อนข้างสูงกับปริมาณสารอินทรีย์ที่ละลายน้ำโดยเฉพาะในรูปของ Humic acid ( $r = 0.898, p < 0.001$ ) กล่าวคือน้ำทึ้งที่มีสารอินทรีย์ที่ละลายน้ำในรูปของ Humic acid สูงจะพบปริมาณprotoรวมสูงด้วย ดังแสดงในภาพที่ 2 ดังนั้นสารอินทรีย์ในรูปของ Humic acid จึงมีบทบาทสำคัญในการจับกับสารproto ได้ดีกว่า Fulvic acid



ภาพที่ 2 ความสัมพันธ์ระหว่างปริมาณprotoในน้ำทึ้งกับสารอินทรีย์ที่ละลายน้ำในรูปของ Humic acid ชั่งพบในกคุฟน (2 ตุลาคม 2546)

สำหรับปริมาณprotoรวมในดินตะกอนในกคุแล้ง พบว่ามีค่าอยู่ในช่วงระหว่าง 0.006-0.130 ในโครงการต่อกรัม น้ำหนักแห้ง และกคุฟนมีค่าอยู่ในช่วงระหว่าง  $<0.0023 - 0.224$  ในโครงการต่อกรัม น้ำหนักแห้ง (ตารางที่ 13) ปริมาณprotoรวมในดินตะกอนที่ตรวจพบมีความแตกต่างกันขึ้นอยู่กับกคุกาล และสถานี ในบริเวณสถานีไกลั่งปริมาณจะสูงกว่าสถานีไกลั่ง (ภาพที่ 3) โดยค่าสูงสุดทั้ง 2 กคุพบ บริเวณต่อกรัมในของนิคมอุดสาหกรรมนานาชาติ (สถานีที่ 3) โดยเฉพาะจุดที่พบสูงมากอยู่บริเวณหน้าโรงงานปีโตรเคมีและในกคุฟนพบสูงกว่ากคุแล้ง (ภาพที่ 3) ทั้งนี้ปริมาณprotoรวมในดินตะกอนที่ตรวจพบดังกล่าวมีค่าสูงกว่ามาตรฐานของสารprotoในดินตะกอนของบางประเทศ (ตารางที่ 14) เนื่องจากในขณะนี้ประเทศไทยยังไม่มีมาตรฐานของโลหะหนักในดินตะกอน

ตารางที่ 13 ปริมาณปรอทในดินตะกอนบริเวณชายฝั่งทะเล นิคมอุตสาหกรรมมานตาพุด จังหวัดระยอง  
ในฤดูแล้ง (31 มีนาคม 2546) และฤดูฝน (2 ตุลาคม 2546) (ค่าเฉลี่ย ± ความคลาดเคลื่อน  
มาตรฐาน) ( $n = 6$ )

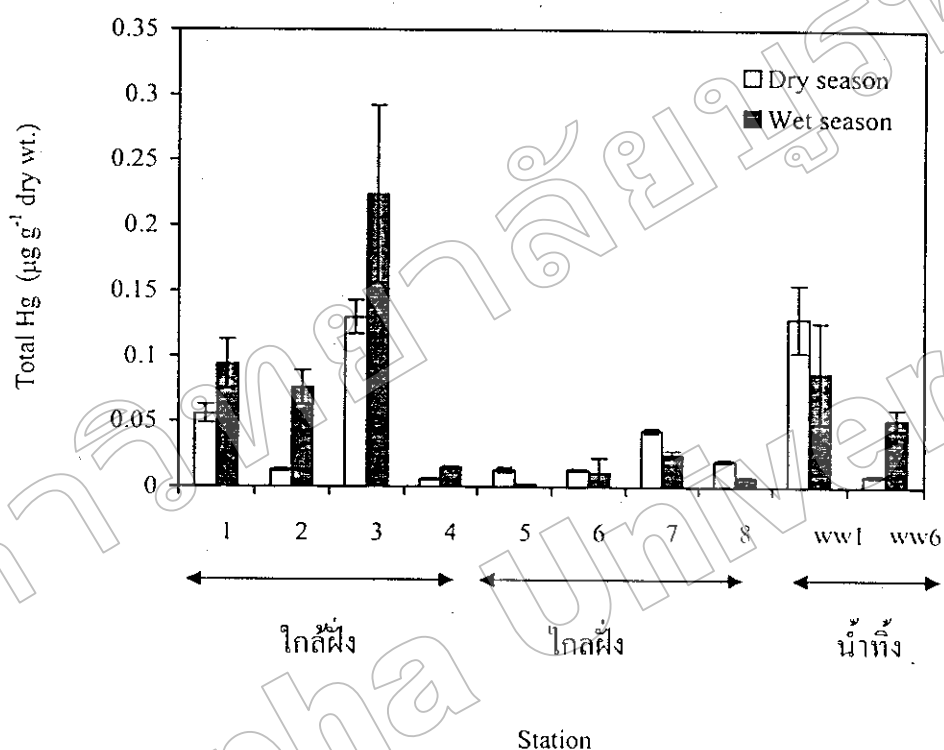
Station	Dry Season (March 2003)			Wet Season (October 2003)		
	Total Hg ( $\mu\text{g g}^{-1}$ dry wt.)	Bioavailable Hg ( $\mu\text{g g}^{-1}$ dry wt.)	% of Total Hg	Total Hg ( $\mu\text{g g}^{-1}$ dry wt.)	Bioavailable Hg ( $\mu\text{g g}^{-1}$ dry wt.)	% of Total Hg
1	$0.056 \pm 0.007$	< 0.00025	< 0.4	$0.094 \pm 0.019$	0.00026	0.3
2	$0.013 \pm 0.001$	0.0016	11.9	$0.076 \pm 0.013$	0.00086	1.1
3	$0.130 \pm 0.013$	0.0016	1.2	$0.224 \pm 0.068$	0.00052	0.2
4	$0.006 \pm 0.0009$	< 0.00025	< 4.2	$0.015 \pm 0.0009$	< 0.00025	< 1.7
5	$0.013 \pm 0.002$	0.00051	3.9	< 0.0023	0.00051	< 22.2
6	$0.013 \pm 0.001$	0.0014	11.0	$0.011 \pm 0.001$	0.00151	13.7
7	$0.043 \pm 0.002$	< 0.00025	< 0.6	$0.025 \pm 0.003$	0.00079	3.2
8	$0.020 \pm 0.001$	0.0009	4.5	$0.008 \pm 0.0004$	0.00143	17.9
WW1*	$0.129 \pm 0.026$	0.0007	0.5	$0.087 \pm 0.039$	0.00060	0.7
WW6*	$0.009 \pm 0.001$	< 0.00025	< 2.8	$0.052 \pm 0.008$	0.00109	2.1

\* สถานีวัดไม่ได้ยืนยัน

ตารางที่ 14 เกณฑ์มาตรฐานของสารปรอทในน้ำทะเลและคินตะกอน

Standard/Guideline	Total mercury		Reference
	Seawater ( $\mu\text{g L}^{-1}$ )	Sediment ( $\mu\text{g g}^{-1}$ dry wt.)	
Thai Coastal Water Quality Standard	0.1		Pollution Control Department (1997)
ASEAN Marine Water Quality Criteria			Deocadiz et al. (1999)
- For protection of aquatic life	0.16		
- For protection of human health from seafood consumption	0.04		
- For protection of human health from recreational activities	21		
Average shale		0.4	Turekian and Wedepohl (1961)
Earth's crust		0.08	Riley and Chester (1971)
Average crustal abundance		0.08	Taylor (1964)
Sediment Quality Standard for the State of Washington		0.41	Ginn and Pastorok (1992)
Draft Interim Canadian Marine Sediment Quality Guideline		0.13	Environment Canada (1995)
Draft Interim Canadian Freshwater Sediment Quality Guideline		0.174	Environment Canada (1995)
Florida DEP <sup>1</sup> Sediment Quality Guidelines – Threshold Effect Level		0.13	MacDonald (1994) อ้างตาม กรมควบคุมมลพิษ (2546)
Florida DEP <sup>2</sup> Sediment Quality Guidelines – Probable Effect Level		0.7	
HongKong <sup>3</sup> Draft Sediment Quality Guidelines - Lower		0.5	HKGS (1998) อ้างตาม กรมควบคุมมลพิษ (2546)
HongKong <sup>4</sup> Draft Sediment Quality Guidelines - Higher		1	
Australia and New Zealand Draft Interim Sediment Quality Guidelines – Lower <sup>1</sup>		0.15	ANZECC (1998) อ้างตาม กรมควบคุมมลพิษ (2546)
Australia and New Zealand Draft Interim Sediment Quality Guidelines – Lower <sup>2</sup>		1	

- หมายเหตุ<sup>1</sup> = ค่าความเข้มข้นที่ไม่มีความเป็นพิษต่อสิ่งมีชีวิต (Threshold Effect Level, TEL)
- <sup>2</sup> = ค่าความเข้มข้นที่อาจจะมีความเป็นพิษต่อสิ่งมีชีวิต (Probable Effect Level, PEL)
- <sup>3</sup> = ค่าความเข้มข้นที่สามารถทำการขุดลอกตะกอนคินได้
- <sup>4</sup> = ค่าความเข้มข้นที่สามารถขุดลอกตะกอนคินได้โดยต้องผ่านการศึกษาผลกระทบสิ่งแวดล้อม



ภาพที่ 3 ปริมาณปراอกรรวมในดินตะกอนบริเวณนิคมอุตสาหกรรมมาบตาพูด ในฤทธิแล้ง (31 มีนาคม 2546)  
และฤทธิฝน (2 ตุลาคม 2546) (ค่าเฉลี่ย ± ความคลาดเคลื่อนมาตรฐาน, n =6)

อย่างไรก็ตาม ปริมาณprotothrumไม่ได้เป็นค่าบ่งบอกถึงผลกระทบที่จะมีต่อสิ่งมีชีวิตหรือสิ่งแวดล้อมได้ เมื่อจากไม่ได้เป็นปริมาณที่สามารถเข้าสู่สิ่งมีชีวิตได้ทั้งหมด จึงได้ทำการวิเคราะห์หาปริมาณprotothumที่สามารถเข้าสู่สิ่งมีชีวิตได้ (bioavailable form) และพบว่ามีค่าน้อยมาก โดยในดินแอลูมิโน่ฟาร์มค่าอยู่ระหว่าง  $<0.4 - 12\%$  ของปริมาณprotothrum และถูกผนึมไว้ในดินตะกอนสูงบางสถานี แต่ปริมาณprotothumที่ตรวจพบนี้ไม่ได้อยู่ในรูปที่เป็นอันตรายต่อสิ่งมีชีวิตหรือมีแต่น้อยมากๆ ผลการศึกษาที่สองคล้องกับการศึกษาของ Thongra-ar (2001) ซึ่งพบว่าปริมาณprotothumที่อยู่ในรูปแบบที่เข้าสู่สิ่งมีชีวิตได้ในดินตะกอนบริเวณแม่น้ำบางปะกงมีค่าน้อยเช่นกัน แต่น้อยกว่าดินตะกอนบริเวณแม่น้ำพุด ก่อตัวคือไม่เกิน 10 % ของปริมาณprotothrumเท่านั้น เมื่อจากดินตะกอนบริเวณบางปะกงเป็นดินเหนียวและมีสารอินทรีย์ก้อนข้างสูง

จากการศึกษาความสัมพันธ์ระหว่างปริมาณprotothrumในดินตะกอนและคุณสมบัติบางประการของดินตะกอน พบว่า ในดินแอลูมิโน่ฟาร์มprotothumมีความสัมพันธ์ทางบวกกับค่าอัตราการดูดซึมน้ำที่สูงมากกับอัตราการดูดซึบของเหล็ก รองลงมา คือ ปริมาณดินเหนียว สารอินทรีย์ และออกไซด์ของแมงกานีส ตามลำดับ (ตารางที่ 15) ส่วนปริมาณprotothrumในดินแอลูมิโน่ฟาร์มมีความสัมพันธ์ทางตรงกับค่าอัตราการดูดซึบของเหล็กในรูปของ amorphous Fe oxides รองลงมาได้แก่ ปริมาณสารอินทรีย์ ดินเหนียว และออกไซด์ของแมงกานีส ตามลำดับ (ตารางที่ 16) จากความสัมพันธ์ดังกล่าว แสดงให้เห็นว่า อัตราการดูดซึบของเหล็กเป็นองค์ประกอบในดินตะกอนบริเวณแม่น้ำพุดที่มีบทบาทสูงมากในการดูดซึบสารprotothumมากกว่าองค์ประกอบอื่นๆ ในดินตะกอน ทั้งนี้เนื่องจากออกไซด์ของเหล็ก รวมทั้งของแมงกานีส และอะลูมิโน่เนียม มีพื้นที่ผิว (specific surface areas) สูงมาก พนอยู่ในดินในรูปของ suspended particles และเกะบันผิวของ clay minerals และสารอินทรีย์ (humic substances) หรืออยู่ในรูป mixed gels (Sparks, 1995) เนื่องจากมีความว่องไว (reactivity) สูงมาก จึงเป็นตัวดูดซึบ (adsorbent) ที่มีพลังสูงมาก (Bourg and Loch, 1995) ในการดูดซึบโลหะหนักหรือต่อกะอนร่วน (coprecipitate) กับ cations และ anions ในสารละลายน้ำ (Alloway, 1995) นอกจากนี้ ออกไซด์ของโลหะเหล่านี้สามารถเปลี่ยนแปลงประจุได้ตามค่าของความเป็นกรด-ด่าง (pH-dependent charge) ซึ่งโดยทั่วไปจะมีประจุลบในสารละลายน้ำที่เป็นด่าง และมีประจุบวกในสารละลายน้ำที่เป็นกรด (Alloway, 1995)

ปริมาณprotothumที่พบทั้ง 2 ดินยังมีความสัมพันธ์ทางบวกกับค่า CEC ของดินตะกอนด้วย (ตารางที่ 15 และ 16) จึงอาจเป็นไปได้ว่าการดูดซึบของสารprotothumในดินตะกอนบริเวณนี้เกี่ยวข้องกับกระบวนการ cation exchange (Semuh et al., 1986) นอกจากนี้ยังพบความสัมพันธ์ทางลบระหว่างปริมาณprotothumกับค่าความเป็นกรด-ด่างของดินตะกอนอีกด้วยในทั้ง 2 ดิน แสดงว่าprotothumในดินตะกอนจะสูงเมื่อค่าความเป็นกรด-ด่างของดินลดต่ำลง ผลคล้องกับการศึกษาของ Yin et al. (1996) ซึ่งพบว่า protothumสามารถดูดซึบได้ในดินที่มีสารละลายน้ำเป็นกรด เมื่อจากที่ความเป็นกรด-ด่างต่ำจะพบprotothum positively charged Hg species มาก ทำให้สารprotothumดีมากขึ้น

ตารางที่ 15 ค่าสัมประสิทธิ์ทางพัฒนาระหว่างรูปแบบกรดในดินที่หักห้ามและคุณสมบัติของดินต่างกันในฤดูแล้ง (31 มีนาคม 2546)  
(n = 48 ยกเว้น CEC = 24)

	Total Hg	Avai. Hg	pH	Caco <sub>3</sub>	Organic Matter	CEC	Total Fe Oxides	Amorph. Fe	Total Mn Oxides	Amorp. Mn	Clay
Total Hg	1.000										
Avai. Hg	0.157	1.000									
pH	-0.719**	0.188	1.000								
CaCO <sub>3</sub>	-0.013	-0.483**	-0.091	1.000							
Organic Matter	0.570**	-0.068	-0.629**	0.040	1.000						
CEC	0.820**	0.117	-0.768**	-0.150	0.820**	1.000					
Total Fe Oxides	0.804**	-0.217	-0.696**	0.343*	0.726**	0.796**	1.000				
Amorp. Fe	0.452**	-0.414**	-0.537**	0.658**	0.618**	0.473*	0.795**	1.000			
Total Mn Oxides	0.294*	-0.442**	-0.292*	0.875**	0.265	0.143	0.642**	0.869**	1.000		
Amorp. Mn	0.327*	-0.439**	-0.302*	0.750**	0.339*	0.204	0.657**	0.857**	0.915**	1.000	
Clay	0.653**	-0.177	-0.601**	0.032	0.302*	0.543**	0.615**	0.205	0.150	0.144	1.000

\* , \*\* : Significant at  $p = 0.05$  and  $0.01$  respectively

ตารางที่ 16 ตัวแปรปรับสัมประสิทธิ์ทางปริมาณและคุณภาพในศักยภาพในดินทั่วไปของดินตะกอนในกรุงเทพมหานคร (2 ฤดูฝน 2546)  
( $n = 48$  ยกเว้น CEC = 24)

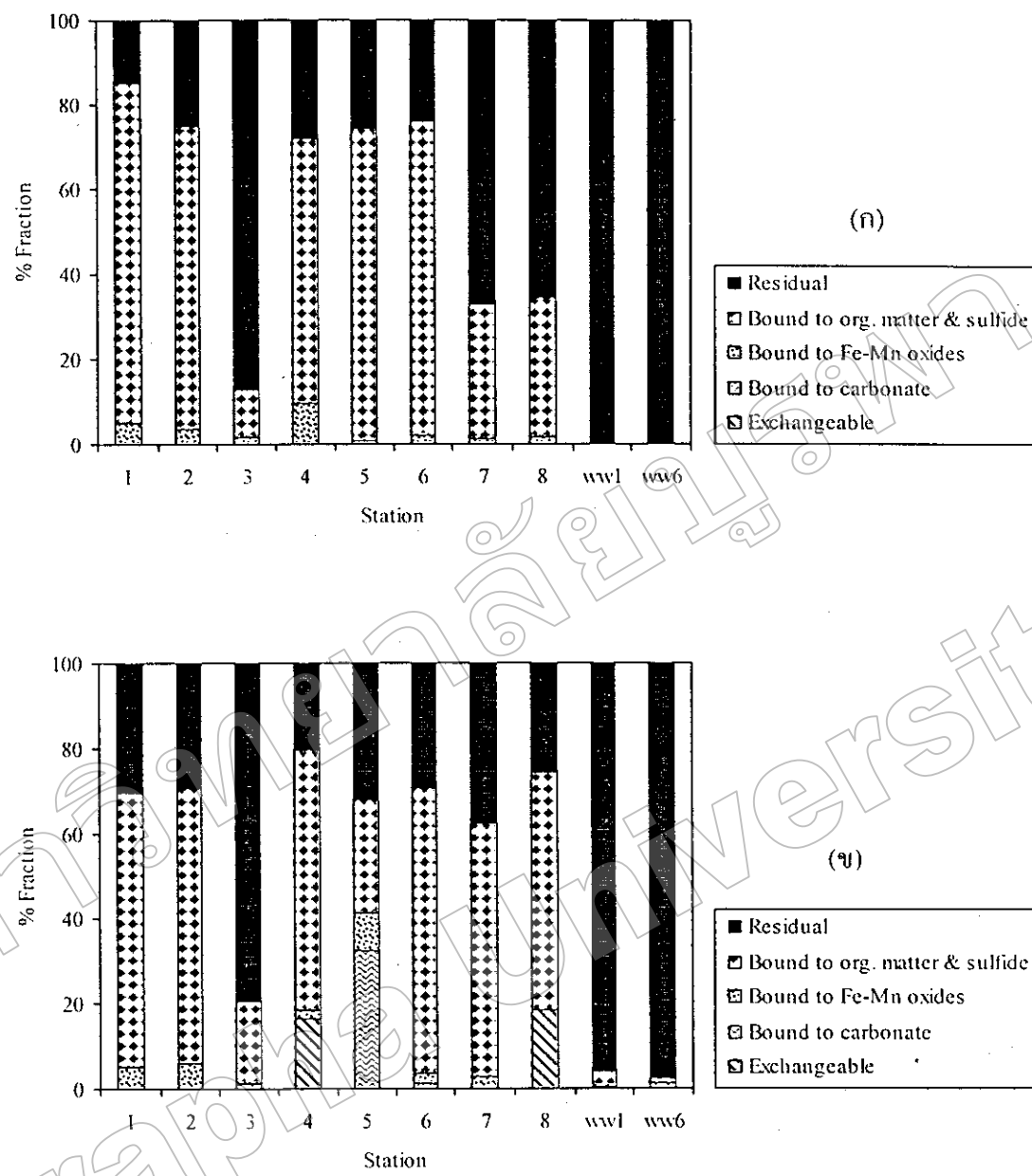
	Total Hg	Avai. Hg	pH	CaCO <sub>3</sub>	Organic Matter	CEC	Total Fe Oxides	Amorp. Fe	Total Mn Oxides	Amorp. Mn	Clay
Total Hg	1.000										
Avai. Hg	-0.312*	1.000									
pH	-0.490**	0.397**	1.000								
CaCO <sub>3</sub>	-0.138	-0.576**	-0.080	1.000							
Organic Matter	0.448**	-0.343*	-0.472**	0.013	1.000						
CEC	0.858**	-0.217	-0.733**	-0.275	0.262	1.000					
Total Fe Oxides	0.049	-0.104	-0.714**	-0.216	0.078	0.485*	1.000				
Amorp. Fe	0.704**	-0.437**	-0.685**	0.243	0.551**	0.665**	0.154	1.000			
Total Mn Oxides	0.373**	-0.360*	-0.592**	0.292*	0.562**	0.351	0.135	0.874**	1.000		
Amorp. Mn	0.421**	-0.271	-0.593**	0.187	0.617**	0.414*	0.114	0.881**	0.965**	1.000	
Clay	0.384**	-0.143	-0.732**	-0.299*	0.119	0.697**	0.812**	0.231	0.053	0.061	1.000

\* , \*\* : Significant at  $p = 0.05$  and  $0.01$  respectively

สำหรับการศึกษารูปแบบทางธรณีเคมี (geochemical forms) ของสารprotoในดินตะกอนได้ทำการศึกษาโดยใช้วิธี sequential extraction เพื่อสกัดสารprotoออกจากเป็น 5 รูปแบบ คือ exchangeable, bound to carbonate, bound to Fe and Mn oxides, bound to organic matter and sulfide และ residual โดยปกติแล้วprotoในดินรูปแบบแรกจะเป็นอันตรายต่อสิ่งมีชีวิต เมื่อจากสามารถที่จะถูกปลดปล่อยออกจากดินตะกอนได้ง่ายเมื่อมีการเปลี่ยนแปลงของปัจจัยแวดล้อมที่อยู่โดยรอบ เช่น ความเป็นกรด-ด่าง ความเค็ม redox potential ฯลฯ (Gomez-Parra et al., 2000) ผลการศึกษาครั้งนี้พบว่าสารprotoในดินตะกอนมีอยู่สองรูปแบบที่สำคัญ คือ รูปที่จับรวมตัวกับสารอินทรีย์และซัลไฟด์ (bound to organic matter and sulfide) และรูปแบบที่อยู่ในโครงสร้างของแร่ธาตุในดิน (residual) โดยในดินแล้ง พบริมาณprotoในรูปที่จับรวมตัวกับสารอินทรีย์และซัลไฟด์อยู่ในช่วงระหว่าง 11.3-79.8 % และในรูปแบบที่อยู่ในโครงสร้างของแร่ธาตุในดินอยู่ในช่วงระหว่าง 14.9-67.1 % ส่วนในดินฝนพบริมาณprotoในรูปที่จับรวมตัวกับสารอินทรีย์และซัลไฟด์อยู่ในช่วงระหว่าง 19.3-67.2 % และในรูปแบบที่อยู่ในโครงสร้างของแร่ธาตุในดิน 29.1-79.4 % (ภาพที่ 4) ปริมาณprotoทั้งสองรูปแบบนี้ไม่เป็นอันตรายต่อสิ่งมีชีวิตได้ (bioavailable form) โดยสกัดด้วย 0.5 N HCl ซึ่งตรวจพบว่ามีค่าน้อยมากดังแสดงในตารางที่ 13 ส่วนบริเวณสถานีที่เป็นดินปล่อยน้ำทิ้ง (WW1 และ WW6) พบว่า protoเกือบทั้งหมดคงอยู่ในโครงสร้างของแร่ธาตุในดิน

ดังนั้น ถึงแม้ว่าได้ตรวจพบปริมาณprotoในดินตะกอนบริเวณน้ำตาพุดสูงกว่าค่ามาตรฐานของบางประเทศในบางสถานี แต่ปริมาณprotoที่ตรวจพบไม่ได้อยู่ในรูปที่เป็นอันตรายต่อสิ่งมีชีวิต

โดยสรุปแล้วการปนเปื้อนของprotoในน้ำทะเลและดินตะกอนบริเวณนิคมอุตสาหกรรมนานาชาติอยู่ในระดับที่ไม่เป็นอันตรายต่อสิ่งมีชีวิตถึงแม้จะพบสูงในดินตะกอนบางสถานีและในบางดินคว้าลักษณะตาม



ภาพที่ 4 รูปแบบทางเคมีของสารปรอทในคินตะกอนบริเวณนิคมอุตสาหกรรมนาบตาพุด จังหวัด  
ระยอง (ก) ฤดูแล้ง (31 มีนาคม 2546) (ข) ฤดูฝน (2 ตุลาคม 2546)

## เอกสารอ้างอิง

กรมควบคุมมลพิษ. 2546. ทะเลไทย...วันนี้. ส่วนแหล่งน้ำทะเล สำนักจัดการคุณภาพน้ำ กรมควบคุมมลพิษ. 180 น.

Alloway, B.J. 1995. Soil processes and the behavior of metals. In: Alloway, B.J. (ed.). *Heavy Metals in Soils*. London: Blackie Academic and Professional. p.11-37.

Boulding, J.R. 1994. *Description and Sampling of Contaminated Soils: A Field Guide*. 2nd edition. Boca Raton: Lewis Publishers.

Bourg, A.C.M. and Loch, J.P.G. 1995. Mobilization of heavy metals as affected by pH and redox conditions. In: Salomons, W. and Stigliani, W.M. (eds.). *Biogeoynamics of Pollutants in Soils and Sediments: Risk Assessment of Delayed and Non-Linear Responses*. New York: Springer-Verlag. p. 87-102.

Bryan, G. W., and Langston, W.J. 1992. Bioavailability, accumulation and effects of heavy metals in sediments with special reference to United Kingdom estuaries: a review. *Environ. Pollut.* 76: 89-131.

Chester, R. and Voutsinou, F.G. 1981. The initial assessment of trace metal pollution in coastal sediments. *Mar. Pollut. Bull.* 12: 84-91.

Chongprasith, P., Wilairatanadilok, W. and Rattikhansukha, C. 1995. Environmental studies in management of the Upper Gulf of Thailand. In: Watson, D., and Ong, K.S. (eds.). *ASEAN-Canada Marine Environmental Quality Technical Papers and Mission Report*. Contributions of the ASEAN-Canada Technical Mission to the Coastal Zone Canada'94 Conference (21-23 September 1994), Halifax, Canada. EVS Environment Consultants, Vancouver and Department of Fisheries, Malaysia. p. 62-73.

Deocadiz, E.S., Diaz, V.R. and Otico, P.F.J. 1999. ASEAN marine water quality criteria for mercury. In: McPherson, C.A., Chapman, P.M., Viger, G.A. and Ong, K.S. (eds.). *ASEAN Marine Water Quality Criteria: Contextual Framework, Principle, Methodology and Criteria for 18 Parameters*. ASEAN Marine Environmental Quality Criteria - Working Group (AMEQC- WG), ASEAN-Canada Cooperative Programme on Marine Science - Phases II (CPMS-II). EVS Environment Consultants, North Vancouver and Department of Fisheries, Malaysia. p. XIII-1 - XIII-34.

Environment Canada 1995. *Interim Sediment Quality Guidelines*. Soil and Sediment Quality Section, Guidelines Division, Ecosystem Conservation Directorate Evaluation and Interpretation Branch, Ottawa, Ontario. 10 p.

EVS Environment Consultants. 1999. *Heavy Metals and Petroleum Hydrocarbon Contamination in Industrial Areas*. Final report. Prepared for Pollution Control Department, Bangkok, Thailand. 230 p.

- Ginn, T.C., and Pastorok, R.A., 1992. Assessment and management of contaminated sediments in Puget Sound. In: Burton, G.A. (ed.). *Sediment Toxicity Assessment*. Boca Raton: Lewis Publishers. p. 371-401.
- Gomez-Parra, A., Forja, J.M., Delvalls, T.A., Saenz, I. and Riba, I. 2000. Early contamination by heavy metals of the Guadalquivir estuary after the Aznalcollar mining spill (SW Spain). *Mar. Pollut. Bull.* 40: 1115-1123.
- Goh, T.B., Arnaud, R.J.St. and Mermut, A.R. 1993. Carbonates. In: Carter, M.R. (ed.). *Soil Sampling and Methods of Analysis*. Canadian Society of Soil Science. Boca Raton: Lewis Publishers. p. 177-185.
- Hayase, K. And Tsubota, H. 1985. Sedimentary humic acid and fulvic acid as fluorescent organic materials. *Geochim. Cosmochimica Acta*. 49: 159-163.
- Hillel, D. 1998. *Environmental Soil Physics*. San Diego: Academic Press.
- Luoma, S.N., 1983. Bioavailability of trace metals to aquatic organisms- a review. *Sci. Total Environ.* 28: 1-22.
- Nelson, D.W. and Sommers, L.E. 1982. Total carbon, organic carbon and organic matter. In: Page, A.L., Miller, R.H. and Keeney, D.R. (eds.). *Method of Soil Analysis, Part II. Chemical and Microbiological Properties*. 2nd edition. American Society of Agronomy, Inc. and Soil Science Society of America, Inc. Publishers, Madison, Wisconsin, USA. p. 539-579.
- Pollution Control Department. 1997. *Water Quality Criteria & Standards in Thailand*. Ministry of Science, Technology and Environment. Thailand. 160 p.
- Riley, J.P., and Chester, R., 1971. *Introduction to Marine Chemistry*. London: Academic Press.
- Ross, G.J. and Wang, C. 1993. Extractable Al, Fe, Mn, and Si. In: Carter, M.R. (ed.). *Soil Sampling and Methods of Analysis*. Canadian Society of Soil Science. Boca Raton: Lewis Publishers. p. 239-241.
- Semu, E., Singh, B.R. and Selmer-Olsen, A.R. 1986. Adsorption of mercury compounds by tropical soils. I. Adsorption in soil profiles in relation to their physical, chemical, and mineralogical properties. *Water Air Soil Pollut.* 27: 19-27.
- Sheldrick, B.H. and Wang, C. 1993. Particle size distribution. In: Carter, M.R. (ed.). *Soil Sampling and Methods of Analysis*. Canadian Society of Soil Science. Boca Raton: Lewis Publishers. p. 499-511.
- Sparks, D.L. 1995. *Environmental Soil Chemistry*. San Diego: Academic Press.
- Taylor, S.R. 1964. The abundance of chemical elements in the continental crust- a new table. *Geochim Cosmochim Acta*. 28: 1273-1285.

Tessier, A., Campbell, P.G.C., and Bisson, M. 1979. Sequential extraction procedure for the speciation of particulate trace metals. *Anal. Chem.* 51:844-851.

Thongra-ar, W. 2001. Fate of Mercury in Sediments of the Bangpakong River Estuary and Its Toxicity as Influenced by Salinity. D.Tech.Sc.Thesis, Asian Institute of Technology. 190 p.

Turekian, K.K. and Wedepohl, K.H. 1961. Distribution of the elements in some major units of the Earth's crust. *Geol. Soc. Amer. Bull.* 72: 175-192.

Yin, Y., Allen, H.E., Li, Y., Huang, C.P. and Sanders, P.F. 1996. Adsorption of mercury(II) by soil: Effects of pH, chloride, and organic matter. *J. Environ. Qual.* 25: 837-844.